

**OTPORNOST MATERIJALA**  
**Prof. dr Vlatko Brčić**

**GRAĐEVINSKA KNJIGA**  
**Beograd, 1989**

Napomena:

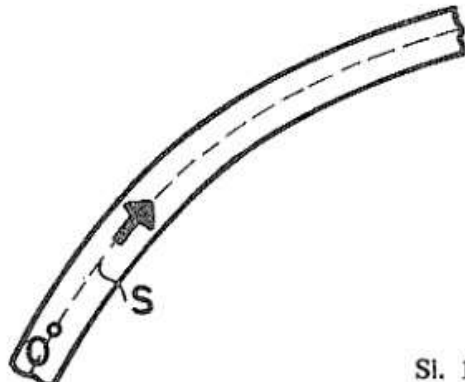
Za površinu poprečnog preseka usvojena je oznaka F (umesto A). Ostali simboli prilagođeni predavanjima koja su se izvodila prethodnih godina.

## 7.4. SAVIJANJE KRIVIH ŠTAPOVA

### 4.7.1. UVODNE NAPOMENE, DEFINICIJA PRESEČNIH SILA

Krivi štapovi, tj. štapovi kojima težišna osa nije prava linija (sl. 115), javljaju se u građevinarstvu veoma često (lukovi, dizalice, kuke, lančanice itd.).

Analizu savijanja krivih štapova sprovećemo uz sledeće prepostavke:



Sl. 115

1. Poprečni preseci štapa imaju bar jednu osu simetrije.
2. Osa štapa je kriva koja leži u ravni simetrije, tj. ona nije prostorna kriva.
3. Spoljne sile deluju u ravni simetrije.

Iz ovih prepostavaka sledi da će se i deformacija štapa zbivati u ravni simetrije, tj. kriva i nakon deformacije ostaje u svojoj ravni.

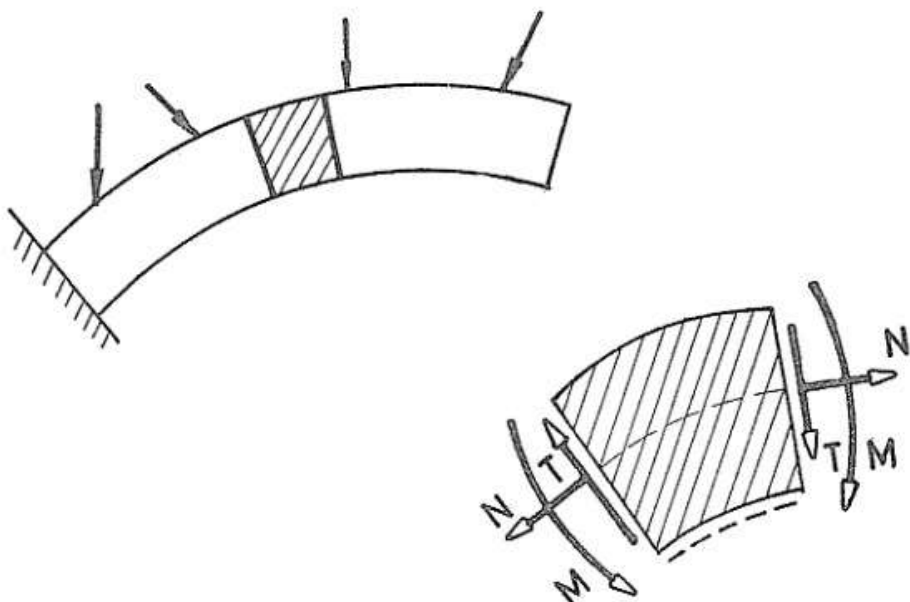
Određivanje napona i deformacije sprovodi se slično kao i kod pravih štapova.

*Definicija i određivanje presečnih sila.* Definicija presečnih sila potpuno je jednaka kao i kod pravih štapova. Redukcijom spoljnih sile na težište poprečnog preseka dobijamo normalnu силу, transverzalnu силу и napadni moment (vidi sl. 116). Konvencija o znaku presečnih sila je sledeća:

*Normalna sila* je pozitivna ako zateže svoj presek.

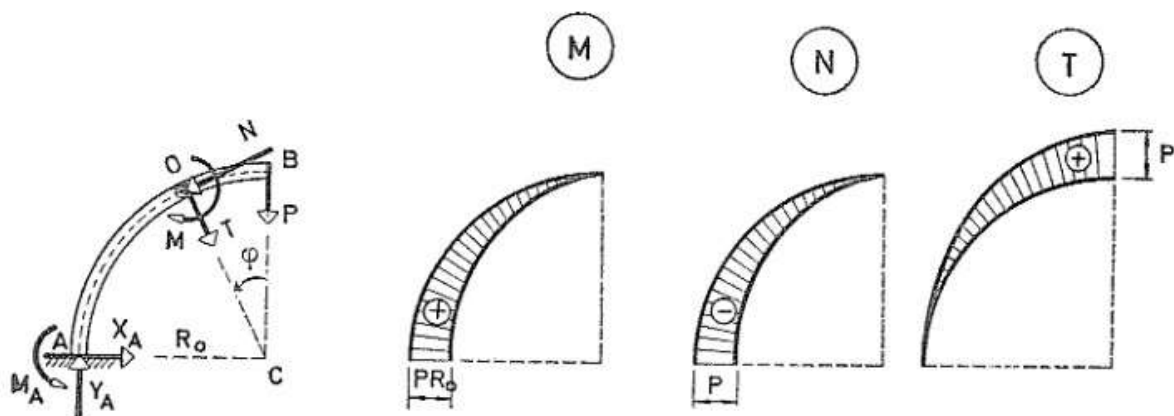
*Transverzalna sila* je pozitivna ako element štapa obrće u smeru kazaljke na satu.

*Napadni moment* je pozitivan ako teži da poveća postojeću krivinu štapa.



Sl. 116

*Primer:* Naći presečne sile za dati četvrtkružni luk prikazan na sl. 117;



Sl. 117

Posmatramo proizvoljni presek  $O$  kome je položaj određen uglom  $\varphi$  od vertikale. Tražimo presečne sile polazeći od desne strane nosača:

$$M(\varphi) = +P \cdot R_0 \sin \varphi; \quad N(\varphi) = -P \cdot \sin \varphi; \quad T(\varphi) = +P \cos \varphi$$

Na sl. 117 su prikazani ovako dobijeni dijagrami presečnih sila.

Zavisno od dispozicije luka i prirode problema daju se vrednosti presečnih sile u zavisnosti od nekog ugla (kao na pr. ugao  $\varphi$  u prethodnom zadatku), ili u zavisnosti od luka  $s$ , merenog od neke proizvoljno odabrane tačke  $O$ .

## 7.4.2. ODREĐIVANJE NAPONA KOD KRIVIH ŠAPOVA

### 7.4.2.1. Naponi od normalnih i transverzalnih sila

Normalni i tangencijalni naponi  $\sigma$  i  $\tau$  na površini posmatranog preseka treba da odražavaju ravnotežu spoljnim silama s jedne strane tog preseka.

Sila  $T$  može da bude uravnotežena samo tangencijalnim naponima tako da je njihova suma jednak i suprotna sili  $T$ . Normalna sila i napadni momenti izazivaju normalne napone u štapu. Ovim putem, posmatrajući uslove ravnoteže, možemo dobiti ukupne vrednosti, ali ne i *raspored* napona po površini poprečnog preseka. Da bi se i taj raspored odredio, potrebno je da se uzme u obzir i deformacija štapa.

Analiza tangencijalnih napona krivih šapova pokazuje (mi to ovde nećemo učiniti) da se raspored tangencijalnog napona  $\tau_{zy} = \tau$  (uz usvajanje *Bernoulli-eve hipoteze ravnih preseka*) može sa visokom aproksimacijom opisati kao i kod pravih šapova, tj. da možemo koristiti obrazac

$$\tau = \frac{TS}{Ib} \quad (7.63)$$

Ovo je obrazac iz elementarne teorije savijanja. Moguće je, međutim, slično kao i kod pravih šapova doći do tačnih izraza za komponente tangencijalnog napona.

*Dimenzionisanje* u odnosu na tangencijalni napon sprovodi se prema obrascu

$$\tau_{\max} = \frac{T_{\max} S_{\max}}{I \cdot b} \leq \tau_{\text{dov}} \quad (7.64)$$

*Normalni napon od aksijalne sile  $N$*  dobija se kao i kod pravih šapova u obliku:

$$\sigma = \frac{N}{F} \quad (7.65)$$

tj. pretpostavljamo ravnometričnu raspodelu po površini poprečnog preseka.

### 7.4.2.2. Normalni napon od napadnog momenta.

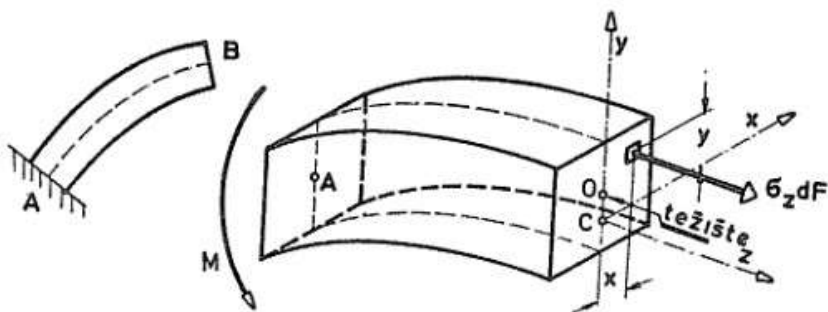
*Deformacija krivog štapa pri savijanju.*

Posmatrajmo uslove ravnoteže za deo štapa  $AB$  koji je izložen dejstvu sprega  $M$  (sl. 118). Koordinatni početak usvajamo na neutralnoj osi, a ne u težištu. Od šest jednačina ravnoteže samo dve ne degenerišu na identitet  $O=0$ :

$$\Sigma Z = 0 \quad \int_F \sigma dF = 0 \quad (7.66)$$

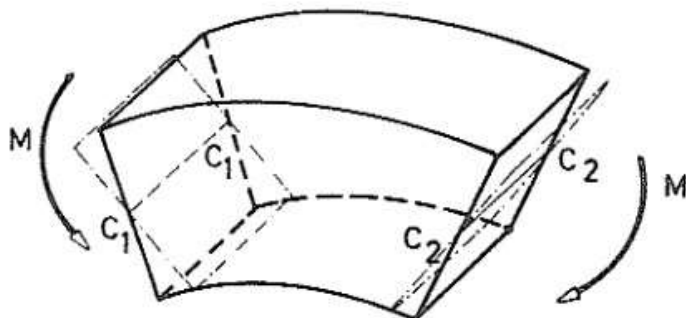
$$\Sigma M_x = 0 \quad M - \int_F y \sigma dF = 0 \quad (7.67)$$

Da bismo našli zakon raspodele normalnog napona  $\sigma$  potrebno je da posmatramo deformaciju štapa.



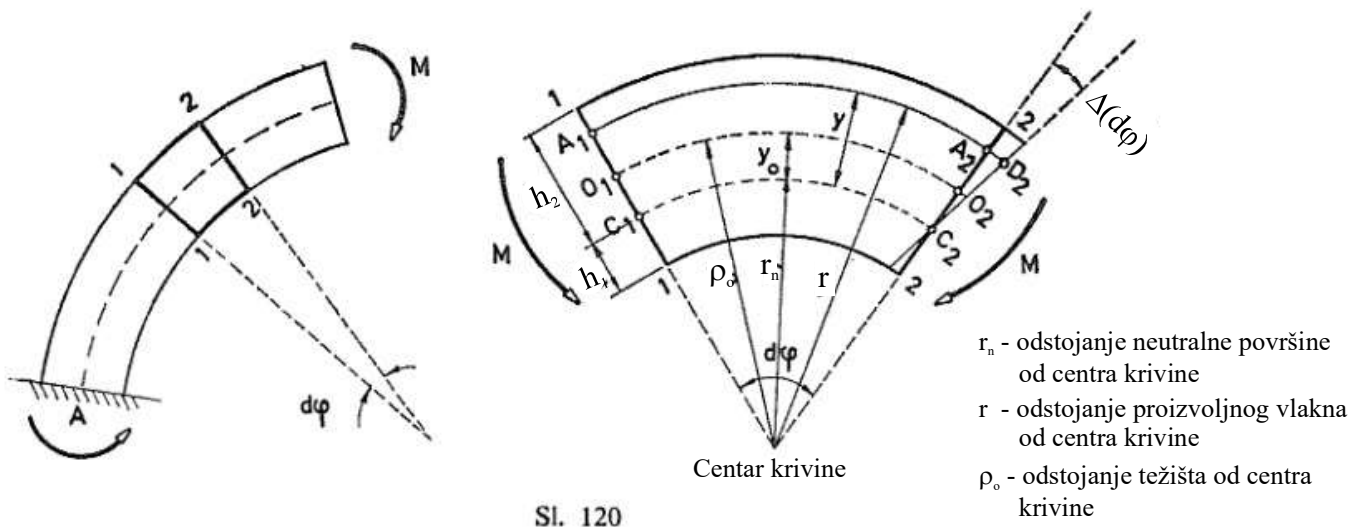
Sl. 118

Ovde usvajamo da važi *hipoteza ravnih preseka*, tj. da preseci koji su pre deformacije bili ravni i upravljeni na osu štapa, ostaju i posle deformacije ravni i upravljeni na osu deformisanog štapa. Oni se između sebe samo relativno obrću. Preseci se obrću oko osa  $C_1-C_1$  i  $C_2-C_2$  (sl. 119). Na pravcima koji su平行ni neutralnom sloju biće stanje napona i deformacije jednako.



Sl. 119

Potražićemo zavisnost između relativnog ugla obrtanja dva bliska preseka i deformacije vlakana. Posmatraćemo elemenat štapa definisan uglom  $d\varphi$  (sl. 120).



Sl. 120

Usled deformacije ugao  $d\varphi$  dobije priraštaj  $\Delta(d\varphi)$ . Tražimo normalni napon  $\sigma$  u tačkama na rastojanju  $y$  od neutralne ose. Pozitivnu osu  $y$  usmeravamo

prema konveksnoj strani štapa. Vlakno  $\widehat{A_1 A_2}$  dobije izduženje  $\widehat{A_2 D_2}$ , a odgovarajući normalni napon je

$$\sigma = \varepsilon E$$

Ovde je dilatacija  $\varepsilon = \widehat{A_2 D_2} / \widehat{A_1 A_2}$ . Ako sa  $r$  obeležimo poluprečnik krivine vlakna  $A_1 A_2$ , biće:

$$A_2 D_2 = y \Delta(d\varphi) = (r - r_n) \Delta(d\varphi) \quad A_1 A_2 = r d\varphi$$

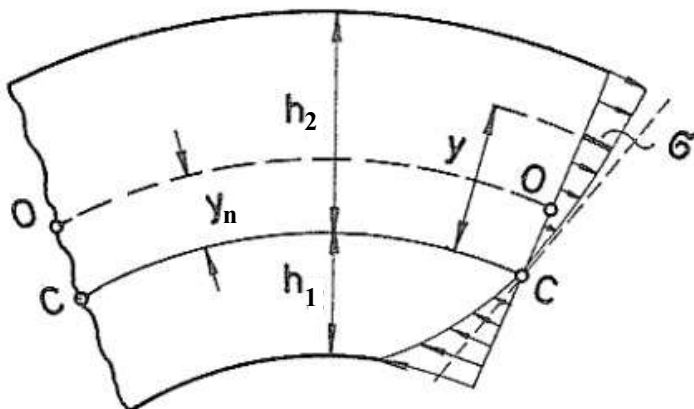
odnosno, dilatacija i naprezanje posmatranog vlakna dobijaju se u obliku:

$$\varepsilon = \frac{A_2 D_2}{A_1 A_2} = \frac{(r - r_n) \Delta(d\varphi)}{r d\varphi} \quad \Rightarrow \quad \sigma = \varepsilon E = E \frac{(r - r_n) \Delta(d\varphi)}{r d\varphi} \quad (7.68)$$

Ovaj obrazac daje zakon raspodele normalnog napona po visini  $y$ .

Kako je za neki određeni presek veličina  $\Delta(d\varphi)/d\varphi$  konstantna, modul  $E$  je takođe konstantan, pa napon  $\sigma$  zavisi samo od ordinate  $y$  i poluprečnika krivine  $r$  vlakna  $A_1 A_2$ , pri čemu je  $r = r_n + y$ , gde je  $r_n$  poluprečnik krivine neutralnog sloja.

Za razliku od pravih štapova, gde je dijagram  $\sigma$  napona pravolinijski, sada je taj dijagram hiperbolički: prema konveksnim vlaknima raste sporije, a prema konkavnim brže nego kod pravih štapova (jer  $y$  postaje negativno), vidi sl. 121.



Sl. 121

Prema tome su kod krivih štapova naponi  $\sigma$  na unutrašnjim vlaknima veći, a kod spoljnih manji nego što je to kod pravih štapova. To je očigledno i iz činjenice što su unutrašnja vlakna kraća pa je njihova relativna promena dužine (dilatacija) veća.

Posmatrajmo sada jednačine ravnoteže (7.66) i (7.67). Uvrstimo izraz (7.68) za napon u jedn. (7.66):

$$\Sigma Z = 0 \Rightarrow \int_F \sigma dF = \int_F E \frac{(r - r_n)}{r} \frac{\Delta(d\varphi)}{d\varphi} dF = 0$$

Ovu jednačinu možemo prikazati i u jednostavnijem obliku, uvođenjem veze  $r - r_n = y$ :

$$208 \quad \int_F E \frac{y}{r} \frac{\Delta(d\varphi)}{d\varphi} dF = E \frac{\Delta(d\varphi)}{d\varphi} \int_F \frac{y}{r} dF = 0$$

tj.

$$\int_F \frac{y}{r} dF = 0 \quad (7.69)$$

Poslednja jednačina omogućuje da nađemo položaj neutralne ose. Ona isto tako pokazuje da sada nije jednak nuli integral oblika  $\int_F y dF$  (koji predstavlja statički moment u odnosu na neutralnu osu), već je  $\int_F \frac{y}{r} dF = 0$ . Znači da kod savijanja krivog štapa neutralna osa ne prolazi težištem preseka, kao što je to slučaj kod pravih štapova.

Ako u (7.69) uvrstimo relaciju  $r - r_n = y$ , biće:

$$\int_F \frac{r - r_n}{r} dF = \int_F dF - r_n \int_F \frac{dF}{r} = 0, \quad \text{tj.}$$

na ovaj način se dobija vrednost rastojanja  $r_n$  od centra krivine do neutralne ose u obliku

$$r_n = \frac{\int_F dF}{\int_F \frac{dF}{r}} \quad (7.70)$$

Način izračunavanja veličine  $r_n$  zavisi od oblika poprečnog preseka.

Uvrstimo sada jedn. (7.68) u (7.67):

$$M - E \frac{\Delta(d\varphi)}{d\varphi} \int_F \frac{y^2}{r} dF = 0 \quad (7.71)$$

Izvršimo transformaciju integrala:

$$\begin{aligned} \int_F \frac{y^2}{r} dF &= \int_F \frac{r - r_n}{r} y dF = \int_F y dF - r_n \int_F \frac{y}{r} dF \\ &= 0 \text{ zbog jedn. (7.69)} \end{aligned}$$

Prvi integral predstavlja statički moment  $S$  površine poprečnog preseka u odnosu na neutralnu osu. Međutim, ova veličina može da se iskaže i izrazom

$$S = F y_n \quad (7.72)$$

gde je  $y_n$  rastojanje težišne ose od neutralne ose. Tada jednačina (7.71) prelazi u oblik:

$$M - E \frac{\Delta(d\varphi)}{d\varphi} S = 0 \quad (7.73)$$

tj.

$$\frac{\Delta(d\varphi)}{d\varphi} = \frac{M}{ES} = \frac{M}{E y_n F} \quad (7.74)$$

Prema jedn. (7.68) dobijamo tada konačan izraz za normalan napon:

$$\sigma = \epsilon E = E \frac{(r - r_n) \Delta(d\varphi)}{r d\varphi} \Rightarrow \sigma = \frac{M}{y_n F} \frac{(r - r_n)}{r} = \frac{M}{y_n F} \frac{y}{r_n + y} \quad (7.75)$$

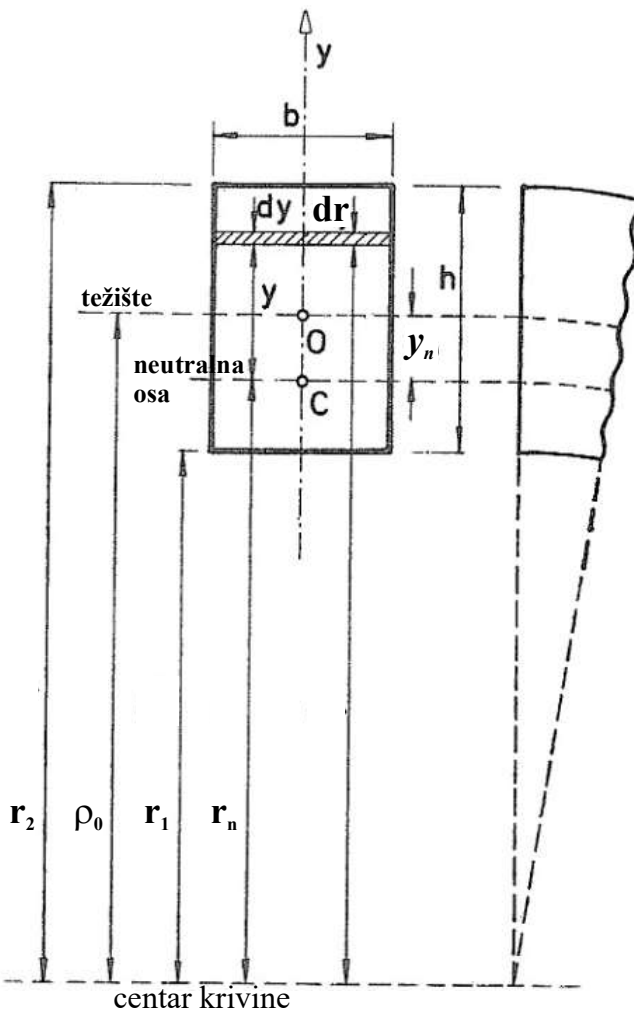
Iz jedn. (7.73) je očigledno da je statički moment  $S$  površine  $F$  u odnosu na neutralnu osu različit od nule, tj. ovde *neutralna osa ne prolazi težištem*, štapa, već je pomerena za neku veličinu  $y_n$ . Proračuni pokazuju da je ovo pomeranje neutralne ose uvek prema konkavnoj strani krivog štapa.

Ukupna vrednost normalnog napona, uključujući normalne sile i napadni moment je

$$\sigma = \frac{N}{F} + \frac{M}{y_n F} \frac{y}{r} \quad (7.76)$$

### PRIMER

Odrediti poluprečnik krivine neutralne ose kod štapova pravougaonog poprečnog preseka



Polazi se od jednačine:

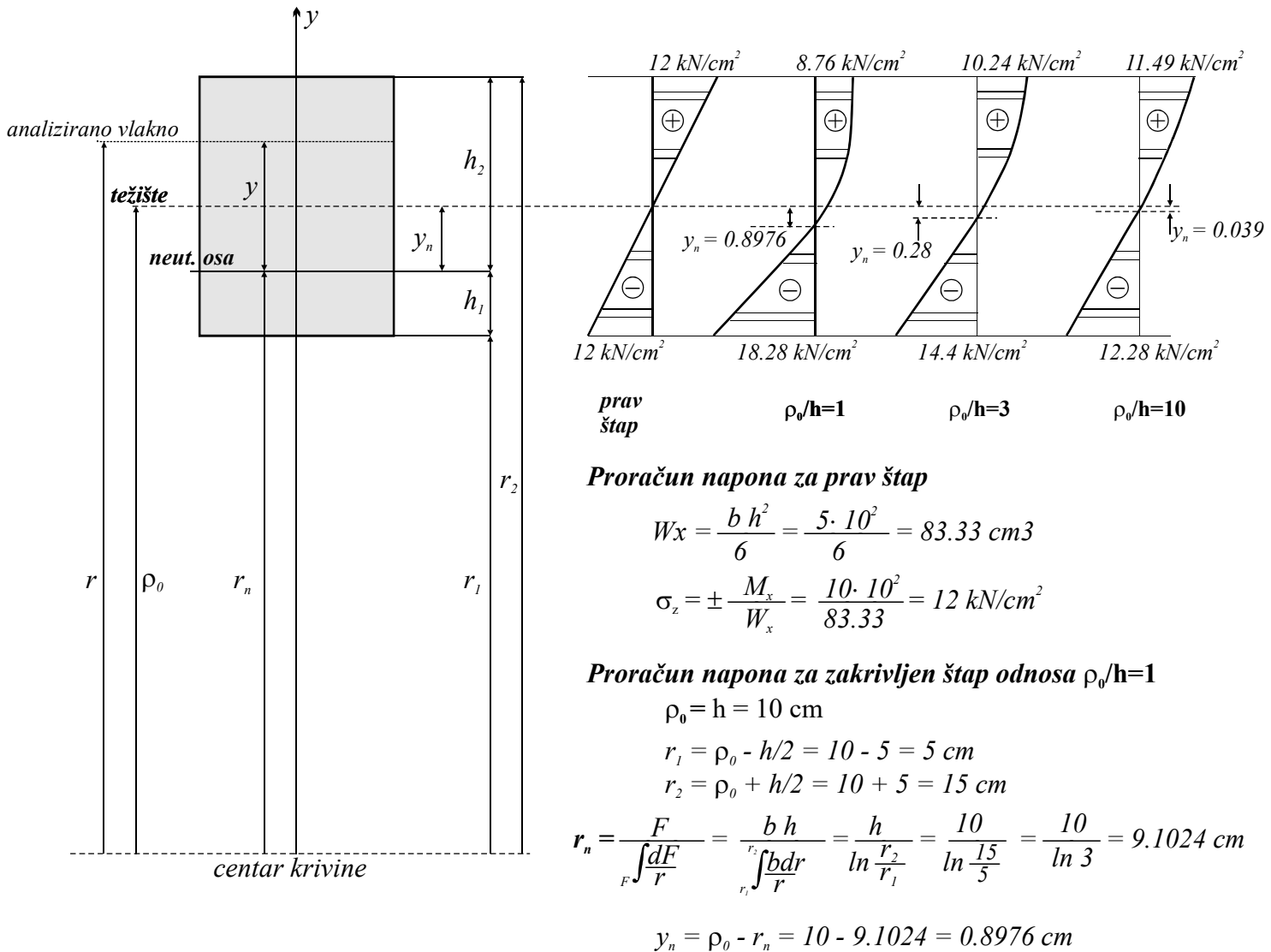
$$r_n = \frac{F}{\int_F^r \frac{dr}{r}}$$

Sa slike se vidi da je  
 $dF = b dr$

$$r_n = \frac{F}{\int_F^r \frac{dr}{r}} = \frac{b h}{\int_{r_1}^{r_2} \frac{b dr}{r}} = \frac{h}{\ln \frac{r_2}{r_1}}$$

Deo zadatka preuzet iz knjige OTPORNOST MATERIJALA Prof. dr Radenka Pejovića

Za zakrivljeni štap pravougaonog poprečnog preseka dimenzija **b/h=5/10cm** proračunati normalne napone od momenta savijanja **M=10kNm** za odnose  $\rho_0/h=1, 3 \text{ i } 10$  kao i za prav štap. Analizirati dobijene rezultate u funkciji  $\rho_0/h$ .



Normalni naponi se dobijaju na osnovu izvedenog izraza:

$$\sigma = \frac{M}{y_n F} \frac{y}{r_n + y} = \frac{10 \cdot 10^2}{0.8976 \cdot 50} \frac{y}{r_n + y} = 22.2816 \frac{y}{r_n + y}$$

Ekstremne vrednosti se javljaju na gornjoj (za  $y = y_2 = h/2$ ) i donjoj konturi (za  $y = y_1 = h/2$ ).

$$\text{Gornja kontura} \quad y_2 = h/2 + y_n = 5.8976$$

$$\text{Donja kontura} \quad y_1 = h/2 - y_n = -(h/2 - y_n) = -4.1024$$

Naponi:

$$\sigma_1 = \sigma_{\min} = 22.2816 \frac{y_1}{r_n + y_1} = 22.2816 \frac{-4.1024}{(9.1024 - 4.1024)} = -18.2816 \text{ kN/cm}^2$$

$$\sigma_2 = \sigma_{\max} = 22.2816 \frac{y_2}{r_n + y_2} = 22.2816 \frac{5.8976}{(9.1024 + 5.8976)} = 8.7605 \text{ kN/cm}^2$$

Postupak za preostala dva slučaja je analogan i neće biti prikazan

Analizom dijagrama može se uočiti da sa povećanjem odnosa  $\rho_0/h$  razlika između normalnih napona pravog i krivog štapa brzo opada. Za odnos  $\rho_0/h=1$  ove razlike prelaze 50% dok su za  $\rho_0/h=10$  sve razlike manje od 5%. Imajući u vidu navedeno, štapovi sa odnosom  $\rho_0/h > 10$  mogu se u praktičnim proračunima tretirati kao pravi štapovi pri proračunu napona izazvanih savijanjem.